

鉛直及伏せん断荷重を受ける二層板の載荷点近傍の応力性状について

北海道大学 正員 芳村仁
 北海道大学 正員 菊次憲吉
 北海道大学 正員 ○三上隆

1. まえがき

本報告は土木構造物にみられる、弾性系二層板問題を道路橋にみられる舗装、床版をモデル化し、舗装を弾性挙動を示す構造要素と見なし、舗装と床版を弾性係数の異なる二層板として解析し、舗装表面上に作用する鉛直・せん断荷重による応力状態を調べたものである。この種の解析例として Sneddon²⁾らが Hankel 変換により均一厚板の軸対称問題として解いており、また倉田周郎³⁾は舗装・床版を二層弾性板と考え三次元弾性力学に基づく厚板理論により輪荷重点下の応力分布形状を求めてある。本報告は Hankel 変換による解法により、軸対称・非軸対称問題として解析し、載荷点近傍の応力性状を調べたものである。

2. 解析方法と応力式

2-1) 解析方法

座標軸 (r, θ, z) に選んだ円柱座標における三次元弾性体のつり合い方程式は U_r, U_θ, U_z を r, θ, z 方向変位とする

$$\left. \begin{aligned} \nabla^2 U_r + \frac{1}{1-2\nu} \frac{\partial \Delta}{\partial r} - \frac{1}{r} (2 \frac{\partial U_\theta}{r \partial \theta} + \frac{U_r}{r}) &= 0 \\ \nabla^2 U_\theta + \frac{1}{1-2\nu} \frac{\partial \Delta}{\partial \theta} - \frac{1}{r} (\frac{U_\theta}{r} - 2 \frac{\partial U_r}{r \partial \theta}) &= 0 \\ \nabla^2 U_z + \frac{1}{1-2\nu} \frac{\partial \Delta}{\partial z} &= 0 \end{aligned} \right\} \quad (1)$$

$$\Delta = \frac{\partial^2 U_r}{\partial r^2} + \frac{U_r}{r^2} + \frac{\partial^2 U_\theta}{r^2 \partial \theta^2} + \frac{\partial^2 U_z}{\partial z^2} \quad (2)$$

ここで、 ∇^2 はラプラス演算子、 ν はボアソン比

式(1)は次の解によつて満足される。

$$\left. \begin{aligned} U_r &= \frac{1+\nu}{E} \left\{ -\frac{\partial^2 \Psi}{\partial r \partial z} + \frac{z}{r} \frac{\partial \Psi}{\partial z} \right\} \\ U_\theta &= \frac{1+\nu}{E} \left\{ -\frac{1}{r} \frac{\partial^2 \Psi}{\partial \theta \partial z} - z \frac{\partial \Psi}{\partial r} \right\} \\ U_z &= \frac{1+\nu}{E} \left\{ 2(1-\nu) \nabla^2 \Psi - \frac{\partial^2 \Psi}{\partial z^2} \right\} \end{aligned} \right\} \quad (3)$$

ただし $\nabla^2 \Psi = 0, \nabla^2 \Psi = 0$ $\quad (4)$

また、応力成分は $\sigma_{rr}, \sigma_{\theta\theta}, \sigma_{zz}$ を r, θ, z 方向の直応力、 $\sigma_{rz}, \sigma_{\theta z}$ をせん断応力をすると次のとく書き表わされる。

$$\left. \begin{aligned} \sigma_{rr} &= \frac{\partial}{\partial z} \left\{ U_r \nabla^2 \Psi - \frac{\partial^2 \Psi}{\partial r^2} \right\} + \frac{z}{r} \cdot \frac{\partial}{\partial \theta} \left\{ \frac{\partial \Psi}{\partial r} - \frac{\Psi}{r} \right\} \\ \sigma_{\theta\theta} &= \frac{\partial}{\partial z} \left\{ U_\theta \nabla^2 \Psi - \frac{1}{r^2} \frac{\partial^2 \Psi}{\partial \theta^2} - \frac{1}{r} \frac{\partial^2 \Psi}{\partial r \partial \theta} - \frac{2}{r} \frac{\partial}{\partial \theta} \left\{ \frac{\partial \Psi}{\partial r} - \frac{\Psi}{r} \right\} \right\} \\ \sigma_{zz} &= \frac{\partial^2}{\partial z^2} \left\{ (2-\nu) \nabla^2 \Psi - \frac{\partial^2 \Psi}{\partial z^2} \right\} \\ \sigma_{\theta z} &= \frac{1}{r} \frac{\partial^2}{\partial \theta \partial z} \left\{ \frac{\Psi}{r} - \frac{\partial^2 \Psi}{\partial r^2} \right\} - 2 \frac{\partial^2 \Psi}{\partial r^2} - \frac{\partial^2 \Psi}{\partial z^2} \end{aligned} \right\} \quad (5)$$

$$\left. \begin{aligned} \sigma_{rz} &= \frac{1}{r} \frac{\partial}{\partial \theta} \left\{ (1-\nu) \nabla^2 \Psi - \frac{\partial^2 \Psi}{\partial z^2} \right\} - \frac{\partial^2 \Psi}{\partial r \partial z} \\ \sigma_{\theta z} &= \frac{\partial}{\partial r} \left\{ (1-\nu) \nabla^2 \Psi - \frac{\partial^2 \Psi}{\partial z^2} \right\} + \frac{1}{r} \frac{\partial^2 \Psi}{\partial \theta \partial z} \end{aligned} \right\}$$

ここで Ψ を求めると

$$\Psi(r, \theta, z) = \sum_{m=0}^{\infty} \Phi_m(r, z) \cos m\theta$$

$$\Phi_m(r, z) = \sum_{n=0}^{\infty} \Psi_n(r, z) J_n(mr) \quad \times \text{A} \text{Bessel Transform}$$

$$\left. \begin{aligned} \Psi_n(m, z) &= \int_0^{\infty} r \Phi_m(r, z) J_n(mr) dr \\ H_n(m, z) &= \int_0^{\infty} r \Psi_n(m, z) J_n(mr) dr \end{aligned} \right\} \quad (6)$$

ここで $J_n(mr)$ は n 次の Bessel 関数

Hankel-Transform G_m, H_m は次の微分方程式の解でない

$$\left. \begin{aligned} \left(\frac{d^2}{dz^2} - m^2 \right)^2 G_m(m, z) &= 0 \\ \left(\frac{d^2}{dz^2} - m^2 \right) H_m(m, z) &= 0 \end{aligned} \right\} \quad (7)$$

初式の解法

$$G_m(m, z) = \{ A_m(m) + B_m(m) \cdot z^4 \} e^{-mz} + \{ C_m(m) + D_m(m) \cdot z^4 \} e^{+mz}$$

$$H_m(m, z) = E_m(m) e^{-mz} + F_m(m) e^{+mz} \quad (8)$$

ここで A_m, B_m, \dots は境界条件より定まる定数である。

さらに(6)式の逆変換を行つて

$$\Phi_m(r, z) = \int_0^{\infty} m G_m(m, z) J_n(mr) dm$$

$$\Psi_n(m, z) = \int_0^{\infty} m H_m(m, z) J_n(mr) dm$$

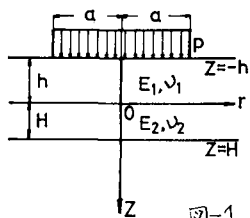
となり $\Phi_m(r, z), \Psi_n(m, z)$ が決まる。これら式(3)及式(5)に代入すれば $\sigma_{rz}, \sigma_{\theta z}$ あり変位関数、応力成分へ一般式が得られる。

$$\begin{aligned}
U_1 &= -\frac{1+u}{2E} \sum_{n=0}^{\infty} \left[\int_0^{\infty} (-A_n m + B_n(-l-mz) + 2E_n) e^{mz} + (C_n m + (l+mz) B_n \right. \\
&\quad \left. + 2F_n) e^{mz} \int m^2 J_{n+1}(mr) dm + \int_0^{\infty} ((A_n m - B_n(-l-mz) + 2E_n) e^{mz} \right. \\
&\quad \left. - (C_n m + c(l+mz) B_n - 2F_n) e^{mz} \int m^2 J_{n+1}(mr) dm) \cos n\theta \right] \\
U_2 &= -\frac{1+u}{2E} \sum_{n=0}^{\infty} \left[\int_0^{\infty} (-A_n m + B_n(-l-mz) + 2E_n) e^{mz} + (C_n m + c(l+mz) B_n \right. \\
&\quad \left. + 2F_n) e^{mz} \int m^2 J_{n+1}(mr) dm - \int_0^{\infty} ((A_n m - B_n(-l-mz) + 2E_n) e^{mz} \right. \\
&\quad \left. - (C_n m + c(l+mz) B_n - 2F_n) e^{mz} \int m^2 J_{n+1}(mr) dm) \sin n\theta \right] \\
U_3 &= -\frac{1+u}{2E} \sum_{n=0}^{\infty} \left[\int_0^{\infty} ((A_n m^2 - 2B_n m(-l-2)) - B_n z M^2) e^{mz} - (C_n m^2 \right. \\
&\quad \left. - 2B_n m(-l-2) + B_n z M^2) e^{mz} \int m^2 J_{n+1}(mr) dm) \cos n\theta \right] \\
\delta_{xx}^{(1)} &= \sum_{n=0}^{\infty} \left[\int_0^{\infty} ((m A_n + m^2 B_n + c(l-2) B_n) e^{mz} - (m C_n + m^2 B_n - c(l-2) B_n \right. \\
&\quad \left.) e^{mz} \int m^2 J_{n+1}(mr) dm) \cos n\theta \right] \\
\delta_{yy}^{(1)} &= \sum_{n=0}^{\infty} \left[\int_0^{\infty} ((-A_n m^2 + c(l+2) m^2 B_n - m^2 Z B_n) e^{mz} + (C_n m^2 + (l+2) m^2 B_n \right. \\
&\quad \left. + m^2 Z B_n) e^{mz} \int m^2 J_{n+1}(mr) dm - \frac{1}{r} \int_0^{\infty} (-m A_n + c(l-mz) B_n) e^{mz} \right. \\
&\quad \left. + (m C_n + c(l+mz) B_n) e^{mz} \int m^2 J_{n+1}(mr) dm - \frac{1}{r} \int_0^{\infty} (E_n e^{mz} \right. \\
&\quad \left. + F_n e^{mz}) m^2 J_{n+1}(mr) dm) \cos n\theta \right] \\
\delta_{xy}^{(1)} &= \sum_{n=0}^{\infty} \left[\int_0^{\infty} ((B_n m e^{mz} + D_n m e^{mz}) m^2 J_{n+1}(mr) dm + \frac{1}{r} \int_0^{\infty} (-A_n m + c(l+mz) B_n \right. \\
&\quad \left.) e^{mz} (B_n m e^{mz} + D_n m e^{mz}) m^2 J_{n+1}(mr) dm \right. \\
&\quad \left. + \frac{2}{r} \int_0^{\infty} (E_n e^{mz} + F_n e^{mz}) m^2 J_{n+1}(mr) dm) \cos n\theta \right] \\
\delta_{xz}^{(1)} &= \sum_{n=0}^{\infty} \left[\int_0^{\infty} ((E_n e^{mz} + F_n e^{mz}) m^2 J_{n+1}(mr) dm - \frac{1}{r} \int_0^{\infty} (-A_n m + c(l-mz) B_n \right. \\
&\quad \left.) e^{mz} + (C_n m + c(l+mz) B_n) e^{mz} \int m^2 J_{n+1}(mr) dm \right. \\
&\quad \left. - \frac{2}{r} \int_0^{\infty} (E_n e^{mz} + F_n e^{mz}) m^2 J_{n+1}(mr) dm) \sin n\theta \right] \\
\delta_{yz}^{(1)} &= \frac{1}{Z} \sum_{n=0}^{\infty} \left[\int_0^{\infty} ((A_n m - c(l-mz) B_n) e^{mz} + (C_n m + c(l+mz) B_n) e^{mz} \right. \\
&\quad \left. - m^2 J_{n+1}(mr) dm \pm J_n(mr) dm \right] \int_0^{\infty} (-E_n e^{mz} + F_n e^{mz}) m^2 \right. \\
&\quad \left. \times (J_{n+1}(mr) dm \mp J_n(mr) dm) \right] \sin n\theta \cos n\theta
\end{aligned}$$

上 (9) 式

2.1) 表面に垂直等分布荷重が作用する場合

図-1 は示すモデルを考
えよ。上層板の板厚(h), 弹
性係数(E₁), 下層板の
板厚(H), 弹性係数(E₂)
である。荷重は半径 a 上に一様に作
用するものとする。ここで上層板の Suffix(1), 下
層板の Suffix(2) とし、
対称問題より $m = 0$ とする。Hankel-Transform による
解は



$$\begin{aligned}
G_0^{(1)} &= (A_0^{(1)} + B_0^{(1)} Z) e^{mz} + (C_0^{(1)} + D_0^{(1)} Z) e^{mz} \\
G_0^{(2)} &= (A_0^{(2)} + B_0^{(2)} Z) e^{mz} + (C_0^{(2)} + D_0^{(2)} Z) e^{mz}
\end{aligned} \quad (10)$$

表面の荷重条件として

$$\begin{cases} \delta_{xx}^{(1)}(\gamma, \theta) = -P = \text{const} \quad (0 \leq \gamma \leq a) \\ \delta_{xx}^{(1)}(\gamma, \theta) = 0 \quad (\gamma > a) \\ \delta_{xz}^{(1)}(\gamma, \theta) = 0 \quad (0 \leq \gamma < a) \end{cases} \quad (11)$$

境界条件として

$$\begin{cases} z = -h \quad \delta_{xx}^{(1)} = M(m), \quad \delta_{xz}^{(1)} = 0 \\ z = 0 \quad \delta_{xx}^{(1)} = \delta_{xz}^{(2)}, \quad \delta_{xz}^{(1)} = \delta_{xz}^{(2)} \\ z = a \quad U_2^{(1)} = U_2^{(2)}, \quad U_r^{(1)} = U_r^{(2)} \\ z = H \quad \delta_{xz}^{(2)} = 0, \quad \delta_{xz}^{(2)} = 0 \end{cases} \quad (12)$$

以上より 4 つ条件より 8 個の定数 ($A_0^{(1)}, B_0^{(1)} \sim D_0^{(2)}$) が得られる。

$$\begin{aligned}
U_1 &= \frac{1}{2} \int_0^{\infty} ((-A_n m + B_n(-l-mz) + 2E_n) e^{mz} + (C_n m + (l+mz) B_n \right. \\
&\quad \left. + 2F_n) e^{mz} \int m^2 J_{n+1}(mr) dm - \int_0^{\infty} ((A_n m - B_n(-l-mz) + 2E_n) e^{mz} \right. \\
&\quad \left. - (C_n m + c(l+mz) B_n - 2F_n) e^{mz} \int m^2 J_{n+1}(mr) dm) \sin n\theta \right] \\
U_2 &= \frac{1}{2} \int_0^{\infty} ((-A_n m^2 - 2B_n m(-l-2)) - B_n z M^2) e^{mz} - (C_n m^2 \right. \\
&\quad \left. - 2B_n m(-l-2) + B_n z M^2) e^{mz} \int m^2 J_{n+1}(mr) dm \cos n\theta \right] \\
M^2 A_0^{(1)} &= \frac{M(m)}{\Delta m} \left[A C (-l+mh) e^{m(l+2h)} - (m h B C + A Q + Q P B) e^{-m(l-2h)} \right. \\
&\quad \left. - B F C (-l+mh) e^{m(l-2h)} - (m h B C + B S - A \alpha B) e^{-m(l+2h)} + \{4 m^2 A B P C\} \right. \\
&\quad \left. + m h (A B - C F) + L e^{m h} + \{-4 m^2 B^2 H^2 R + 2 m^2 (H^2 (A^2 + B^2) \right. \\
&\quad \left. - H h (A^2 + B^2) F) - m (h (C B^2 + C^2) + (6 \alpha H (-l - v)) + L) e^{m h}\} \right] \\
M^2 B_0^{(1)} &= \frac{M(m)}{\Delta m} \left[A C e^{m(l+2h)} + B C (-l - 2m h) e^{m(l-2h)} - B F e^{-m(l-2h)} \right. \\
&\quad \left. + B C (-l - 2m h) e^{m(l+2h)} + \{4 m^2 A B M^2 + A B - 2 F\} e^{m h} + \{4 m^2 B^2 H^2\} \right. \\
&\quad \left. - (l - 2m h) + 2m (-h (B^2 + C^2) + H (A^2 + B^2 F)) + B^2 + C^2 e^{m h}\} \right] \\
M^2 C_0^{(1)} &= \frac{M(m)}{\Delta m} \left[(-B C m h + B S - A \alpha B) e^{m(l+2h)} + B F (-l - m h) e^{m(l-2h)} \right. \\
&\quad \left. + (-B C m h + A Q + Q P B) e^{-m(l-2h)} - A C (-l - m h) e^{-m(l+2h)} + \{-4 m^2 B^2\} \right. \\
&\quad \left. + H^2 R + 2 m^2 (-H^2 (A^2 + B^2) + (A^2 + B^2) H^2 R) - m C R (B^2 + C^2) + 16 d H (l - v) \right. \\
&\quad \left. - H L e^{m h} + \{4 m^2 A B P C (m h - l) + m h (A B - C F) + L e^{m h}\} \right] \\
M^2 D_0^{(1)} &= \frac{M(m)}{\Delta m} \left[B C (-l + 2m h) e^{m(l+2h)} - B F e^{-m(l-2h)} + B Z (-l + 2m h) e^{-m(l-2h)} \right. \\
&\quad \left. + A C e^{m(l+2h)} + \{4 m^2 B^2 H^2 (-l + 2m h) + 2m (R (B^2 + C^2) - H (A^2 + B^2 F)) \right. \\
&\quad \left. + B^2 + C^2 e^{m h} + \{4 m^2 A B M^2 + A B - 2 F\} e^{m h}\} \right] \\
M^2 A_0^{(2)} &= \frac{2 M(m)}{\Delta m} \left[C (-m h - I) e^{m(l+2h)} + (-D m h + J) e^{m(l-2h)} \right. \\
&\quad \left. + \{2 m^2 B^2 F (-l - 2m h) + 2 m^2 S H h + m (2 H J + H B) + I - N\} e^{m h} \right. \\
&\quad \left. + \{-m h (G + 2m H) - 2m H (I - m A H) + N - J\} e^{m h}\} \right] \\
M^2 B_0^{(2)} &= \frac{2 M(m)}{\Delta m} \left[-A e^{m(l+2h)} - B C (-l - 2m h) e^{m(l-2h)} + \{F - 2 m B H + (-l + 2m h)\} \right. \\
&\quad \left. \cdot e^{m h} + \{-C (-l - 2m h) - 2m A H\} e^{m h}\} \right] \\
M^2 C_0^{(2)} &= \frac{2 M(m)}{\Delta m} \left[(-D m h + J) e^{m(l-2h)} + (C m h + I) e^{m(l+2h)} \right. \\
&\quad \left. + \{m^2 h (2m H - G) - 2m H (m A H + I) + J - N\} e^{m h} + \{-2 m^2 B H^2\} \right. \\
&\quad \left. \cdot (-l - 2m h) - 2m^2 S H h + m (2 H J + H B) + N - I\} e^{m h}\} \right] \\
M^2 D_0^{(2)} &= \frac{2 M(m)}{\Delta m} \left[-B C (-l + 2m h) e^{m(l+2h)} - A e^{-m(l-2h)} + \{2 m A H - C (-l + 2m h) \right. \\
&\quad \left. \cdot e^{m h} + \{F + 2 m B H + (-l + 2m h)\} e^{m h}\} \right] \quad \text{上 (13)} \\
\Delta &= A^2 (-e^{2m(l+2h)} + e^{-2m(l-2h)}) - B F (-e^{2m(l+2h)} + e^{-2m(l-2h)}) \\
&\quad + \{B Z (-l + 4m^2 H^2) - A F G (e^{2mH} + e^{-2mH}) + 2 (2 A B m^2 H^2 + I - W) \cdot (e^{2mH} + e^{-2mH}) + 4 [m^2 \{4 B^2 m^2 H^2 + (A^2 + B^2) H^2 + (B^2 + C^2) h^2 \} \right. \\
&\quad \left. - 2 R H (A^2 + B^2 F)\} + I + L\} \quad (14) \\
A &= I + \alpha, \quad B = -I - \alpha, \quad C = 4 d V - 3 \alpha - 1, \quad D = -I - \alpha (-l - 4V) \\
F &= 4 d V - 3 \alpha + 1, \quad G = I - 4 V, \quad I = \alpha + 2 V, \quad J = \alpha - 2 V \\
L &= \alpha Z (8 U^2 (2 U + 5)), \quad N = 8 d V (U - V), \quad Q = I - 2 \alpha (-l - V) \\
S &= I + 2 \alpha (-l - V), \quad B = I - 2 V
\end{aligned}$$

$$\text{さら } \kappa = (1+\nu) E_1 / 1.5 E_2$$

以上の定数を(9)式に代入すると応力式が得られる。

$E \propto \kappa$ えがく。 $\delta_{\theta Z}^{(1)}$ は

$$\begin{aligned} \delta_{\theta Z}^{(1)} &= \int_0^{\infty} \frac{2Nm}{\Delta} m \left[f_m(ch-AZ) - d_B \int e^{-mch+2H} + \{ Bm(2mhZ) \right. \\ &\quad \left. - h-Z \} + d_B \int e^{-mch+2H} - \{ Bm(2mhZ+h+Z) - d_B \int e^{-mch+2H} \right] \\ &\quad + \{ m(ch-AZ) + d_B \int e^{-mch+2H} \} + \{ 4m^2h^2K^2 + 2m^2h(h+H)(-K^2) + mh(-1+K^2) \} \\ &\quad \cdot e^{mh} + 2Kmh(-1+2m^2h^2)e^{mh} \\ &\quad + m(hB+FZ+2Hd\beta) + \alpha\beta \int e^{-mch+2H} + \{ 2m^2hB(h+Z) \} (AH \\ &\quad - ch) - m(-ch+Z) + 2H(\alpha\beta) - \alpha\beta \int e^{-mch+2H} + \{ 4m^2h^2h(h+Z) \\ &\quad - 2m^2hB(h+Z) \} + m(hB+FZ+2H(\alpha\beta) - \alpha\beta \int e^{-mch+2H}) \\ &\quad + \{ 2m^2h(h+Z)(ch-AH) - m(-ch+Z) + 2H(\alpha\beta) \} + d_B \int e^{-mch+2H} \\ &\quad] J_1(mr) dm \quad (15) \end{aligned}$$

2.2 表面に一様なせん断荷重が作用する場合

図-2 の様なモデルを考える。

荷重は半径 $2a$ 円上に一様に作用

用いていふものとする。非軸対称問題より $n=1$ とき、上層板

の定数は Suffix (1)、下層板の

定数は Suffix (2) とおくと (8) 式によ

つぎのようになる。

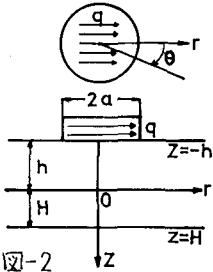


図-2

$$\begin{aligned} G_1^{(1)}(m, Z) &= (A_1^{(1)} + B_1^{(1)}Z) e^{mz} + (Z_1^{(1)} + F_1^{(1)}Z) e^{mz} \\ H_1^{(1)}(m, Z) &= E_1^{(1)} e^{mz} + F_1^{(1)} e^{mz} \\ G_2^{(2)}(m, Z) &= (A_2^{(2)} + B_2^{(2)}Z) e^{mz} + (Z_2^{(2)} + F_2^{(2)}Z) e^{mz} \\ H_2^{(2)}(m, Z) &= E_2^{(2)} e^{mz} + F_2^{(2)} e^{mz} \end{aligned} \quad (16)$$

表面の荷重条件として

$$\begin{aligned} \delta_{\theta Z}^{(1)} &= -q \cos(\theta) (r \leq a), \quad \delta_{\theta Z}^{(2)} = q \sin(\theta) (r \leq a) \\ \delta_{\theta Z}^{(1)} &= \delta_{\theta Z}^{(2)} = 0 \quad (r > a), \quad \delta_{ZZ}^{(1)} = 0 \quad (0 \leq r \leq a) \end{aligned} \quad (17)$$

境界条件として

$$\begin{aligned} Z = -h \quad &\delta_{\theta Z}^{(1)} = 0, \quad \delta_{\theta Z}^{(2)} = -q \cos \theta \quad (r \leq a) \\ &\delta_{\theta Z}^{(1)} = q \sin \theta \quad (r \leq a), \quad \delta_{\theta Z}^{(1)} = \delta_{\theta Z}^{(2)} = 0 \quad (r > a) \\ Z = 0 \quad &\delta_{\theta Z}^{(1)} = \delta_{\theta Z}^{(2)}, \quad \delta_{\theta Z}^{(1)} = \delta_{\theta Z}^{(2)}, \quad \delta_{\theta Z}^{(1)} = \delta_{\theta Z}^{(2)} \\ &\delta_{\theta Z}^{(1)} = U_1^{(1)}, \quad \delta_{\theta Z}^{(2)} = U_2^{(2)}, \quad \delta_{\theta Z}^{(1)} = U_3^{(1)} \\ Z = H \quad &\delta_{\theta Z}^{(1)} = 0, \quad \delta_{\theta Z}^{(2)} = 0, \quad \delta_{\theta Z}^{(2)} = 0 \\ &\delta_{\theta Z}^{(1)} = U_4^{(1)}, \quad \delta_{\theta Z}^{(2)} = U_5^{(2)}, \quad \delta_{\theta Z}^{(2)} = U_6^{(2)} \end{aligned} \quad (18)$$

$$以上 の 条件 と 12 の 定数 ($A_i^{(1)} \sim F_6^{(2)}$) が 得 ら る。$$

$$u = v_2 = 0.5 \times \text{すこ}$$

$$\begin{aligned} mPA_1^{(1)} &= \frac{Nm}{m\Delta} \left[mhe^{mch+2H} + Kmhe^{mch-2H} + K^2mh e^{mch-2H} \right. \\ &\quad \left. + Kmhe^{mch+2H} - 2mhK e^{mh} (-1+2m^2h^2) + \{ 4m^2h^2K^2 + 2m^2h(h+H)(-K^2) + mh(-1+K^2) \} \right. \\ &\quad \left. \cdot e^{mh} + 2Kmh(-1+2m^2h^2)e^{mh} \right] \end{aligned}$$

$$\begin{aligned} mPA_1^{(1)} &= \frac{Nm}{m\Delta} \left[e^{mch+2H} + Kc(1+2mh)e^{mch+2H} + K^2e^{mch-2H} + Kc(1+ \right. \\ &\quad \left. 2mh)e^{mch+2H} - 2Kc(1+2m^2h^2)e^{mh} - \{ K^2(4m^2h^2c(1+2mh) \right. \end{aligned}$$

$$+ 2mch(-H)+1) + 2m(h+H)+1 \} e^{mh} \}$$

$$\begin{aligned} mPC_1^{(1)} &= \frac{Nm}{m\Delta} \left[-Kmh e^{mch+2H} - K^2mh e^{mch-2H} - Kmhe^{mch-2H} \right. \\ &\quad \left. - mh e^{mch+2H} + \{ 4m^2h^2K^2 + 2m^2h(h+H)(-K^2) + mh(-1+K^2) \} \right. \\ &\quad \left. \cdot e^{mh} + 2Kmh(-1+2m^2h^2)e^{mh} \right] \end{aligned}$$

$$\begin{aligned} mE_1^{(1)} &= \frac{Nm}{m\Delta} \left[-Kc(1-2mh)e^{mch+2H} - K^2e^{mch-2H} - Kc(1-2mh)e^{mch-2H} \right. \\ &\quad \left. - e^{mch+2H} + \{ K^2(4m^2h^2c(1-2mh)-2m(h-H)+1) + 1-2mch+H \} \right. \\ &\quad \left. \cdot e^{mh} + 2Kmh(-1+2m^2h^2)e^{mh} \right] \end{aligned}$$

$$mE_1^{(1)} = \frac{Nm}{m\Delta} [-e^{mh} + K e^{mh}]$$

$$mF_1^{(1)} = \frac{Nm}{m\Delta} [-e^{mh} + K e^{mh}]$$

$$\begin{aligned} mPA_1^{(2)} &= \frac{2Nm}{(1+\alpha)m\Delta} \left[mhe^{mch+2H} + Kmhe^{mch-2H} + Km^2h^2(1+ \right. \\ &\quad \left. h+H-2mhH) - mh e^{mh} + m e^{mh} \{ 2m(h+H)-h \} \right] \\ mPA_1^{(2)} &= \frac{2Nm}{(1+\alpha)m\Delta} \left[e^{mch+2H} + Kc(1+2mh)e^{mch-2H} + K(4m^2h^2H \right. \\ &\quad \left. - 2mh-1)e^{mh} - \{ 1+2m(h+H)e^{mh} \} \right] \end{aligned}$$

$$mPA_1^{(2)} = \frac{2Nm}{(1+\alpha)m\Delta} \left[-Kmh e^{mch+2H} - mh e^{mch+2H} + mfh + \right.$$

$$2m^2h(h+H) \{ e^{mh} + Km^2h + 2mH(h+H+2mhH) \} e^{mh} \right]$$

$$mPA_1^{(2)} = \frac{2Nm}{(1+\alpha)m\Delta} \left[-Kc(1-2mh)e^{mch-2H} - e^{mch+2H} \right. \\ \left. + \{ 1-2mch+H \} e^{mh} + K(1-2mH-4m^2hH) \right]$$

$$mPA_1^{(2)} = \frac{2Nm}{m\Delta(1+\alpha)} e^{mh}$$

$$mPA_1^{(2)} = \frac{2Nm}{m\Delta(1+\alpha)} \left[-Kmh e^{mch+2H} - mh e^{mch+2H} + mfh + \right.$$

$$2m^2h(h+H) \{ e^{mh} + Km^2h + 2mH(h+H+2mhH) \} e^{mh} \right]$$

$$mPA_1^{(2)} = \frac{2Nm}{(1+\alpha)m\Delta} \left[-Kc(1-2mh)e^{mch-2H} - e^{mch+2H} \right. \\ \left. + \{ 1-2mch+H \} e^{mh} + K(1-2mH-4m^2hH) \right]$$

$$mPA_1^{(2)} = \frac{2Nm}{m\Delta(1+\alpha)} e^{mh}$$

$$mPA_1^{(2)} = \frac{2Nm}{m\Delta(1+\alpha)} \left[-e^{mch+2H} - K^2(e^{mch+H} + e^{mch+H}) \right. \\ \left. - 2Kc(1+2m^2h^2) \{ e^{mh} + e^{mh} \} + 2K(1+2m^2h^2) \{ e^{mh} + e^{mh} \} \right]$$

$$+ 8m^2hH \{ (1-Kc(1-2m^2hH)) + 2c(1+K^2) \} \{ 1+2m^2(h^2+P) \} e^{mh} \right]$$

$$S = c(1+\alpha) (\{ e^{mch+H} - e^{mch+H} \}) + c(1-\alpha) (\{ e^{mch+H} - e^{mch+H} \}) \quad (19)$$

$$S = c(1-\alpha) / (1+\alpha), \quad \text{さう } \alpha = E_1 / E_2$$

以上の定数を(19)式に代入すると応力式が得られる。

さう えがく。 $\delta_{\theta Z}^{(1)}$ は

$$\delta_{\theta Z}^{(1)} = \frac{1}{2} \int_0^{\infty} \frac{Nm}{\Delta} \left[-\{ 1-mch+Z \} e^{mch+2H} - K^2 \{ 1-mch+Z \} \right. \\ \left. \cdot e^{mch+2H} - K \{ 1+mch-Z-2mhZ \} \{ e^{mch-2H} + e^{mch+2H} \} \right]$$

$$- K \{ 1-mch-Z+2mhZ \} \{ (e^{mch+2H} + e^{mch+2H}) - K^2 \{ 1+mch+Z \} \}$$

$$e^{mch-2H} - \{ 1+mch+Z \} \{ e^{mch+2H} + e^{mch+2H} \} + 2Kc(1+2m^2h^2) \{ 1-mch+Z \} \cdot$$

$$e^{mch+2H} + \{ (1+mch-Z-2mhZ) \} (1+K^2(1+4m^2H^2)) + 2mHc(1-K^2) \cdot$$

$$\{ (1+mch+H+Z) \} \{ e^{mch+2H} + \{ (1-mch-Z+2mhZ) \} (1+K^2(1+4m^2H^2)) \} \cdot$$

$$- 2mHc(1-K^2) \{ (1-mch+H+Z) \} \{ e^{mch+2H} + 2Kc(1+2m^2h^2) \} \{ 1+mch+Z \} \cdot$$

$$e^{mch+2H} \} \{ (J_2(mr) - J_0(mr)) dm \} + \frac{1}{2} \int_0^{\infty} \frac{Nm}{\Delta} \left[K \{ e^{mch+2H} - e^{mch+2H} \} - \{ e^{mch+2H} - e^{mch+2H} \} \right] \cdot$$

$$\cdot (J_2(mr) + J_0(mr)) dm \right] \cos \theta \quad (20)$$

3. 解析例

解析例として、アスファルト舗装-鋼床版を例に(1)を解説する。計算に用いた諸数値は、舗装厚として $h=8\text{cm}$

弾性係数 $E_1 = 10^4 \text{ kg/cm}^2$ 、鋼床版厚 χ として $H = 1.2 \text{ cm}$ 、弾性係数 $E_2 = 2.1 \times 10^6 \text{ kg/cm}^2$ 、ホアソン比 $\nu_1 = 0.5$ 、 $\nu_2 = 0.3$ として、垂直等分布荷重載荷では $\psi_1 = 0.5$ 、 $\psi_2 = 0.3$ とし、せん断荷重載荷の場合は $\psi_1 = \psi_2 = 0.5$ として。又荷重半径 a として道路示示書による後輪荷重面積(地長 = 20 cm 輪距幅 = 50 cm)に等価半径 a として、 $a = 17.84 \text{ cm}$ を用いた。以下に述べる数値計算例は無限積分を Simpson の積分公式によりえた値である。

なお、垂直等分布荷重載荷のときには、図-4 でのせん断応力分布の総和と荷重がつり合つて、せん断荷重のときには、図-4 の応力 σ_{rr} の総和が荷重に等しいことを数値的に確かめている。

図-3、図-4、図-5 は垂直等分布荷重載荷での応力 σ_{zz} 、 σ_{rz} 、 σ_{rr} を示したものである。図-3 は各断面における半径方向の分布をしめしたもので、断面が深くなるほど応力が減少している。図-4 は応力を各半径における断面深さ方向の応力分布をしめた図で弾性係数の大きい下層板(床版)の応力集中が見られる。図中で太い実線は弾性係数の変化する境界面を表している。図-5 の応力 σ_{rr} は各半径における断面深さ方向の応力 σ_{rr} を示したもので、下層板に応力が大きくされている。図-6、図-7 はせん断荷重が作用した場合の応力 σ_{rz} 、 σ_{rr} を $\theta = 0$ の各半径における断面深さ方向の応力を示したもので、応力 σ_{rz} は深さ方向の変化より表面に近い所で横方向に拡がつており、下層板の応力は半径方向の大きさの影響がなく一定値を示す傾向がある。図-7 の応力 σ_{rr} は応力の分布形状は垂直等分布荷重載荷とのとおりに存在するが、下層板の応力は垂直等分布荷重半径方向の大きさの影響はない。以上の結果より、

- 応力 σ_{rz} は垂直等分布荷重載荷では弾性係数の大きい下層板の応力が大きく現われているが、せん断荷重のときの応力分布形状は深さ方向の変化より表面に近い所で横方向に拡がつている。
- 応力 σ_{rr} は垂直等分布及びせん断荷重載荷とも弾性係数の大きい下層板の応力変化が大きく、せん断荷重を負う時でも下層板が曲げを受ける挙動を示している。

参考文献

- 1) Yohimura, J., Ushio, S., Sugawara, T. : Stresses in Multi Layered Systems, Memories of the Faculty of Engineering, Hokkaido Univ., Vol. XIII, No. 2 1972
- 2) Sneddon, I.N. : Fourier Transforms, McGraw-Hill, 1951
- 3) 倉田宗章・圓田寛一郎・塙川部志雄：道路橋床版の輪荷重点下の応力の評価、第30回年次学術講演会講演概要集(工部) 1975.

